

文章编号：0253-2239(2006)06-0918-3

# YVO<sub>4</sub> 晶体的高效受激拉曼散射 \*

胡大伟 于浩海 王正平 张怀金 许心光 王继扬 邵宗书

(山东大学晶体材料国家重点实验室, 济南 250100)

**摘要：**报道了 YVO<sub>4</sub> 晶体在 532 nm、30 ps 脉冲下的高效受激拉曼散射。采用腔外单次通过方式测量了不同长度 YVO<sub>4</sub> 晶体 1 阶斯托克斯受激拉曼散射的阈值，并得到该晶体的稳态增益系数为  $16.0 \pm 0.5 \text{ cm/GW}$ 。实验中观察到 2 阶斯托克斯线 (558.6 nm, 587.8 nm) 和 1 阶反斯托克斯线 (508.0 nm)，受激拉曼散射的整体转换效率高于 50%。

**关键词：**非线性光学；受激拉曼散射；阈值；稳态增益系数；YVO<sub>4</sub> 晶体

中图分类号：O437.3 文献标识码：A

## Efficient Stimulated Raman Scattering of YVO<sub>4</sub> Crystal

Hu Dawei Yu Haohai Wang Zhengping Zhang Huaijin Xu Xinguang  
Wang Jiyang Shao Zongshu

(State Key Lab of Crystal Materials, Shandong University, Jinan 250100)

**Abstract:** The stimulated Raman scattering (SRS) of 532 nm, 30 ps pulse was investigated in YVO<sub>4</sub> crystal samples. In an external single-pass configuration, the SRS thresholds for the first Stokes line were measured for different crystal lengths, and the steady-state gain coefficient was calculated to be  $16.0 \pm 0.5 \text{ cm/GW}$ . In this experiment, the second Stokes line (558.6 nm, 587.8 nm) as well as the first anti-Stokes line (508.0 nm) was also observed. The total conversion efficiency of SRS was higher than 50%.

**Key words:** nonlinear optics; stimulated Raman scattering; threshold; steady-state gain coefficient; YVO<sub>4</sub> crystal

受激拉曼散射 (stimulated Raman scattering, SRS) 属于三阶非线性光学效应，其光束具有激光特性，可使激光波段得到有效拓展。利用固体拉曼激光技术，可以发展新型的黄、橙光激光，以及  $1.5 \mu\text{m}$  人眼安全激光<sup>[1,2]</sup>，这些光源将在军事、医疗、显示、遥感、海洋探测等许多领域获得重要应用，因此相关研究日益受到关注。

早期的拉曼激光研究主要集中在气体和液体介质中，包括 H<sub>2</sub>、N<sub>2</sub>、CH<sub>4</sub>、硝基苯、甲苯等。自 20 世纪 80 年代以来，由于 Ba(NO<sub>3</sub>)<sub>2</sub>、BaWO<sub>4</sub> 等高拉曼增益固体材料的发现以及固体激发光源的商品化，使固体拉曼激光技术有了显著进展<sup>[3~5]</sup>。除钨酸、硝酸盐之外，以 YVO<sub>4</sub>、GdVO<sub>4</sub> 为代表的钒酸盐也是一类有实

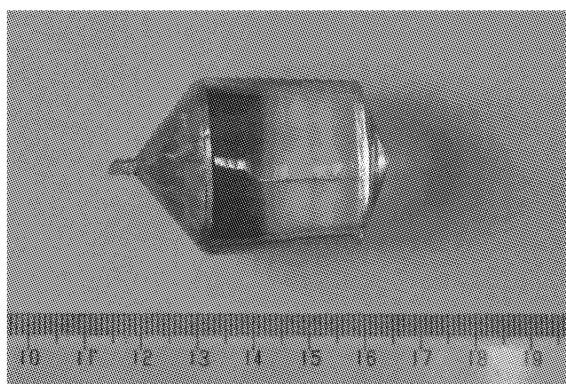
际应用前景的优质拉曼晶体，这些晶体生长周期短、光损伤阈值高、物化性能稳定、拉曼增益系数大，受激拉曼散射的转换效率可高达 60% 以上，其 VO<sub>4</sub><sup>3-</sup> 基团最强的光学振动模是 A<sub>1g</sub>( $\nu_1$ )，分别对应 890 cm<sup>-1</sup> (YVO<sub>4</sub>) 和 882 cm<sup>-1</sup> (GdVO<sub>4</sub>) 的拉曼频移<sup>[6]</sup>。特别是在掺入稀土离子后容易获得自拉曼特性，从而制作出结构紧凑的全固态自拉曼激光器<sup>[7,8]</sup>。

我们通过控制合适的工艺参数，采用熔体提拉法 (Czochralski)，从化学计量比的熔体中生长出了大尺寸、高质量的 YVO<sub>4</sub> 单晶。图 1 是沿 c 轴生长经过退火处理的无宏观缺陷、均匀透明的 YVO<sub>4</sub> 晶体。长成晶体的直径为 28 mm、长度 40 mm、重量 126 g。将晶体置于 10 mW 的 He-Ne 激光器下照射，未发现散射

\* 国家自然科学基金 (60508010, 50590401)、教育部优秀青年教师资助计划、教育部留学回国人员科研启动基金 (2004, 527) 和山东省自然科学基金 (Y2004F01) 资助课题。

作者简介：胡大伟 (1980~)，男，山东大学晶体材料研究所博士研究生，主要从事非线性光学、晶体物理的研究。  
E-mail: haw@icm.sdu.edu.cn

收稿日期：2005-08-09；收到修改稿日期：2006-01-06

图 1 YVO<sub>4</sub> 晶体Fig. 1 YVO<sub>4</sub> crystal

颗粒,说明所生长 YVO<sub>4</sub> 单晶具有良好的光学质量。将 YVO<sub>4</sub> 原生晶体沿 c 向加工成 3 块样品,长度分别

为 25.47 mm, 30.47 mm, 35.35 mm, 截面均为 6 mm × 6 mm, 各样品两通光端面进行抛光但未镀膜。

实验装置如图 2 所示,激光光源为美国 Continuum 公司生产的 PY61 型 Nd:YAG 锁模激光器,输出波长 1064 nm、脉冲宽度 40 ps、重复频率 10 Hz。实验方法为单通方式。图 2 中 SHG 为 KTP 倍频晶体,使通过它的光变为 532 nm, 脉冲宽度约为 30 ps; M<sub>1</sub> 为对 1064 nm 高反,对 532 nm 高透( $R > 99\%$ , 1064 nm 和  $T > 90\%$ , 532 nm) 的滤色片; P<sub>1</sub> 和 P<sub>2</sub> 为两个起偏器,其作用是使抽运能量可以连续变化; T 为激光束缩束透镜组,以提高入射到晶体上的功率密度; F 为光阑,其孔径为 1 mm; RC 为 YVO<sub>4</sub> 晶体; B 为 USB2000 型 VIS-NIR 光谱分析仪的探头; C 为观察屏。

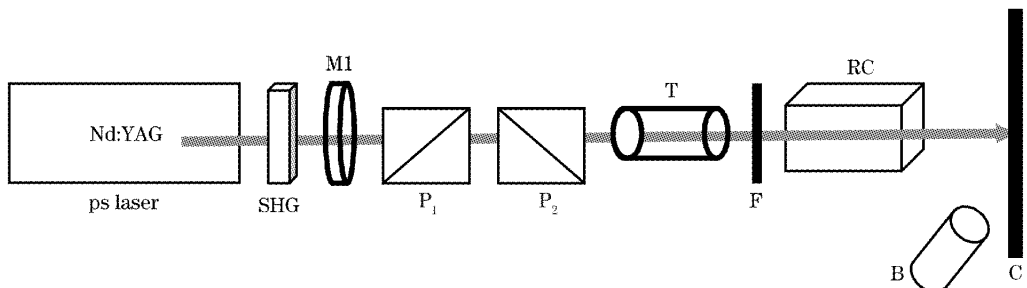


图 2 单次通过型受激拉曼散射实验装置

Fig. 2 Experimental setup for the measurement of the single-pass SRS

利用上述装置,测量了各 YVO<sub>4</sub> 晶体样品 1 阶斯托克斯受激拉曼散射的阈值,结果如表 1 所示。晶体越长,受激拉曼散射的阈值越低,对于 35.35 mm 的 YVO<sub>4</sub> 晶体而言,阈值仅为 449.9 MW/cm<sup>2</sup>。图 3 是阈值附近的一个典型的光谱图,图中的强峰为抽运光,中心波长位于 532.1 nm 处,小峰为 1 阶斯托克斯光,中心波长位于 558.6 nm 处,由此可计算出其频率间隔为 891 cm<sup>-1</sup>,与 Kaminskii 等<sup>[6]</sup> 890 cm<sup>-1</sup> 的报道值基本一致。

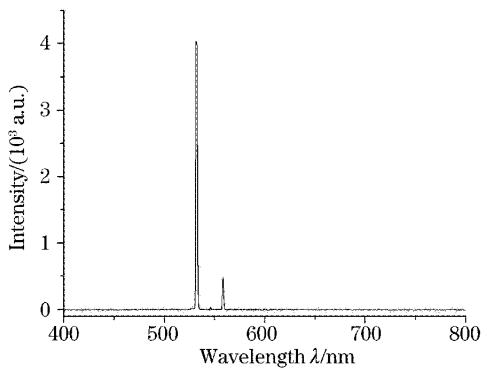


图 3 1 阶斯托克斯阈值附近的光谱图

Fig. 3 Spectra at the 1st Stokes threshold

表 1 不同长度晶体 1 阶斯托克斯受激拉曼散射的  
阈值及增益系数

Table 1 The 1st Stokes threshold and Raman gain  
of different YVO<sub>4</sub> crystals

Crystal length /mm	Intensity of pump light /mW	Threshold pump energy of SRS /(MW/cm <sup>2</sup> )	Raman gain /(cm/GW)
25.47	1.48	628.1	15.63
30.47	1.17	496.6	16.52
35.35	1.06	449.9	15.72

根据抽运脉冲时间  $\tau_p$  与固体晶格振动弛豫时间  $T_R$  的相对大小,可将受激拉曼散射分为稳态和暂态两种。对于较为常见的稳态情况,主要判定条件是

$$\tau_p \gg T_R = \frac{1}{\pi \Delta\nu_R} = \frac{1}{\pi c \Delta\nu_R}, \quad (1)$$

其中  $\Delta\nu_R$  为自发拉曼散射频率谱中相应频移谱线的线宽,单位为 s<sup>-1</sup>。而  $\Delta\nu_R$  为自发拉曼散射波数谱中该频移谱线的线宽,单位为 m<sup>-1</sup>。在此条件下,1 阶斯托克斯受激拉曼散射光的强度可以表示为<sup>[9,10]</sup>

$$I_{s1}(l) = I_{s1}(0) \exp(g_{ssR} I_p l), \quad (2)$$

式中  $I_{sl}(0)$  是第一斯托克斯激光辐射种籽源的强度, 即在拉曼样品起端( $l = 0$ )的自发拉曼散射的强度;  $g_{ssR}$  是稳态拉曼增益系数;  $I_p$  是抽运激光强度;  $l$  是拉曼晶体长度。当上式中的指数因子  $g_{ssR} I_p l \approx 25 \sim 30$ <sup>[9]</sup>, 转换效率  $I_{sl}/I_p \approx 1\%$ , 此时能清楚地判断受激拉曼散射的第 1 阶斯托克斯线已产生, 习惯上将该处的抽运强度定义为稳态受激拉曼散射阈值抽运强度。

$\text{YVO}_4$  晶体的  $T_R \approx 3.5 \text{ ps}$ <sup>[6]</sup>。本文实验中抽运脉冲时间  $\tau_p \approx 30 \text{ ps}$ , 满足(1)式所示的稳态工作条件, 因此可以利用公式  $g_{ssR} I_p l \approx 25 \sim 30$ , 结合测得的受激拉曼散射阈值计算出  $\text{YVO}_4$  晶体的稳态拉曼增益系数, 结果亦如表 1 所示。由表中数值可知,  $\text{YVO}_4$  晶体的拉曼增益系数为  $16.0 \pm 0.5 \text{ cm/GW}$ , 略低于同等实验条件下  $\text{BaWO}_4$  晶体的测量值 ( $18.7 \pm 1.2 \text{ cm/GW}$ )。各  $\text{YVO}_4$  晶体样品的增益系数非常接近, 反证了公式  $g_{ssR} I_p l \approx 25 \sim 30$  对于本实验是适用的, 从而进一步说明本实验条件对  $\text{YVO}_4$  晶体而言是稳态情况。

在入射激光的功率密度达到  $\text{YVO}_4$  晶体 1 阶斯托克斯受激拉曼散射的阈值之后, 继续提高抽运能量, 在纸屏上可以观察到拉曼散射的同心色环。环中心的最亮圆斑主要是抽运光(绿色, 532.1 nm)和 1 级斯托克斯光(黄色, 558.6 nm), 在亮斑外侧出现了 2 阶斯托克斯圆环(橙色), 在中心亮斑的强烈背景下该色环并不清晰, 用光谱仪测得该散射光的波长为 587.8 nm。进一步提高抽运能量, 也会在光谱图上观察到 1 级反斯托克斯光(508.0 nm)的出现, 如图 4 所示。图中 1 阶斯托克斯光的强度已经大于抽运光的强度, 说明在此条件下受激拉曼散射的转换效率大于 50%。

实验表明, 在 532 nm、30 ps 的抽运脉冲条件下,  $\text{YVO}_4$  晶体 1 阶斯托克斯受激拉曼散射的阈值随晶体长度的增加而显著降低, 稳态拉曼增益系数达到  $16.0 \pm 0.5 \text{ cm/GW}$ , 与  $\text{BaWO}_4$  晶体接近。继续增加抽运能量, 观察到了 2 阶斯托克斯和 1 阶反

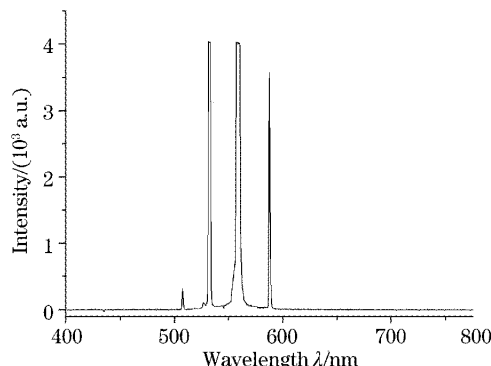


图 4 高阶斯托克斯和反斯托克斯线

Fig. 4 High order Stokes and anti-Stokes lines

斯托克斯谱线, 受激拉曼散射的整体转换效率高于 50%。

## 参 考 文 献

- H. M. Pask, J. A. Piper. Practical 580 nm source based on frequency doubling of an intracavity-Raman-shifted Nd: YAG laser[J]. *Opt. Commun.*, 1998, **148**(4~6): 285~288
- Jin Feng. Development of eye-safe Raman lasers[J]. *Laser & Optoelectronics Progress*, 2003, **40**(6): 40~42 (in Chinese)  
金峰. 人眼安全拉曼激光技术的发展[J]. 激光与光电子学进展, 2003, **40**(6): 40~42
- P. G. Zverev, T. T. Basiev, V. V. Osiko et al.. Physical, chemical and optical properties of barium nitrate Raman crystal [J]. *Opt. Mat.*, 1999, **11**(4): 315~334
- P. Cerny, P. G. Zverev, H. Jelino et al.. Efficient Raman shifting of picosecond pulses using  $\text{BaWO}_4$  crystal [J]. *Opt. Commun.*, 2000, **177**(1~6): 397~404
- Wang Zhengping, Zhang Huaijin, Xu Xinguang. Stimulated Raman scattering of  $\text{BaWO}_4$  crystals[J]. *Chin. J. Lasers*, 2004, **31**(12): 1428 (in Chinese)  
王正平, 张怀金, 许心光 等.  $\text{BaWO}_4$  晶体的受激拉曼散射[J]. 中国激光, 2004, **31**(12): 1428
- Alexander A Kaminskii, Ken-ichi Ueda, Hans Eichler et al.. Tetragonal vanadates  $\text{YVO}_4$  and  $\text{GdVO}_4$ -new efficient  $\chi^{(3)}$ -materials for Raman lasers [J]. *Opt. Commun.*, 2001, **194**(1~3): 201~206
- Y. F. Chen. Compact efficient all-solid-state eye-safe laser with self-frequency Raman conversion in a Nd:  $\text{YVO}_4$  crystal[J]. *Opt. Lett.*, 2004, **29**(18): 2172~2174
- Y. F. Chen. Efficient 1521-nm Nd:  $\text{GdVO}_4$  Raman laser[J]. *Opt. Lett.*, 2004, **29**(22): 2632~2634
- F. T. Arecchi, E. O. Schulz-Du Bois. *Laser Handbook* [M]. Amsterdam: North-Holland, 1972. 72~101
- Y. R. Shen. *The Principles of Nonlinear Optics* [M]. New York: Wiley, 1984. 141~184